

УДК 537.9

ЧАСТОТНАЯ ЗАВИСИМОСТЬ МАГНИТОЭЛЕКТРИЧЕСКОГО ЭФФЕКТА В МАГНИТОСТРИКЦИОННО-ПЬЕЗОЭЛЕКТРИЧЕСКИХ ДВУХСЛОЙНЫХ СТРУКТУРАХ

В.М.Петров, М.И.Бичурин, И.Н.Соловьев, В.М.Лалетин*, С.-В.Нан**

Институт электронных и информационных систем НовГУ, Vladimir.Petrov@novsu.ru

** Институт технической акустики Национальной Академии наук Белоруссии*

*** Университет Цингуа, КНР*

Рассмотрен магнитоэлектрический эффект в двухслойной магнитоэлектрической структуре. Показано, что в области мод электромеханического резонанса наблюдается усиление эффекта в 100-200 раз, при этом использование изгибной моды позволяет существенно снизить значение резонансной частоты.

Ключевые слова: *магнитоэлектрический эффект, магнитоэлектрическая структура, изгибная мода колебаний, электромеханический резонанс*

In this article we discuss magnetoelectric effect in a magnetostrictive-piezoelectric two-layer structure. It is shown that the effect increases by a factor of 100 to 200 in the range of electromechanical resonance modes. Using of the bending mode enables considerable decreasing the resonance frequency.

Keywords: *magnetoelectric effect, magnetostrictive-piezoelectric structure, bending mode, electromechanical resonance*

1. Введение

Композиционные материалы, как известно, наряду со свойствами, имеющимися у исходных компонент, могут обладать свойствами, которые у них отсутствуют. Примером такого свойства является магнитоэлектрический (МЭ) эффект, который наблюдается в материалах, являющихся одновременно магнитоэлектрическими и пьезоэлектрическими [1]. Приложение внешнего магнитного поля вызывает деформацию магнитоэлектрической компоненты, которая приводит к возникновению механических напряжений в пьезоэлектрической компоненте, а следовательно, и к электрической поляризации, появляющейся вследствие пьезоэлектрического эффекта. Очевидно, возможен и обратный эффект. Внешнее электрическое поле вызывает деформацию

пьезоэлектрической компоненты, приводящую к возникновению механических напряжений в магнитоэлектрической компоненте и, как следствие, к ее намагничиванию.

Количественно МЭ эффект характеризуется МЭ коэффициентом по напряжению, $\alpha_E = E/H$. Величина коэффициента зависит от размеров структуры, магнитных, диэлектрических и механических свойств составляющих ее слоев и частоты магнитного поля. В противоположность однофазным материалам в композитах МЭ взаимодействие между пьезоэлектрической и магнитной фазами приводит к большим значениям МЭ коэффициентов. В частности, полученные значения МЭ восприимчивости на несколько порядков больше, чем в известных однофазных МЭ материалах при комнатной температуре. Эти МЭ композиты дают благоприятную возмож-

ность их применения в таких многофункциональных устройствах, как магнитоэлектрические преобразователи, аттенюаторы и датчики. Поскольку МЭ эффект в композиционных материалах обусловлен механической связью компонент, в области ЭМР наблюдается значительное усиление МЭ эффекта [2-6]. Для номинальных размеров образца изгибные колебания происходят на значительно более низких частотах по сравнению с радиальными и толщиной колебаниями, что делает изгибные моды предпочтительными с точки зрения практических применений [7,8].

Одним из наиболее перспективных магнитоэлектрических материалов является никель, обладающий гигантским значением пьезомагнитного коэффициента q_{33} , которое наблюдается при относительно слабом подмагничивающем поле (не более 100 Э). Кроме того, высокая технологичность никеля позволяет относительно легко получать слоистые магнитоэлектрично-пьезоэлектрические структуры методом напыления. Данная работа посвящена исследованию МЭ эффекта в двухслойных магнитоэлектрично-пьезоэлектрических структурах на основе никеля в широком диапазоне частот. В качестве пьезоэлектрической компоненты используется цирконат-титанат свинца (ЦТС). Рассмотрение проводится на примере дискообразных образцов.

Определяющие уравнения для описания МЭ взаимодействия в композитах, в линейном приближении, могут быть записаны как

$$S = sT + d^T E + q^T H, \quad (1)$$

$$D = dS + \epsilon E + \alpha H, \quad (2)$$

$$B = qT + \alpha^T E + \mu H, \quad (3)$$

где T, S, D, E, B и H — напряжение, деформация, электрическая индукция, электрическое поле, магнитная индукция, магнитное поле соответственно; s, ϵ и μ — коэффициент податливости, диэлектрическая проницаемость и магнитная проницаемость соответственно; d и q — пьезоэлектрический и пьезомагнитный коэффициенты; α — МЭ коэффициент.

Для пьезоэлектрической фазы композита (например, ВаТiO₃ и ЦТС) $q = 0$ и $\alpha = 0$; а для магнитной фазы (например, Со-феррит и Ni-феррит) $d = 0$ и $\alpha = 0$. Но уже в их композиции результирующий МЭ коэффициент, зависящий от составляющих композит микроструктур (т. е. свойств фаз компонентов, объемных долей, форм зерен, связи между фазами и т.д.) отличен от нуля, $\alpha \neq 0$.

2. Магнитоэлектрический эффект в области низких частот

Для учета изгибной деформации, связанной с несимметричностью образца, представим радиальное смещение в виде линейной функции вертикальной координаты z_i :

$${}^p u_r = {}^p u_{r0} + \frac{z_p \partial w}{\partial r}, \quad {}^m u_r = {}^m u_{r0} + \frac{z_m \partial w}{\partial r},$$

где ${}^i u_{r0}$ — смещение вдоль оси r при $z_i = 0$, w — смещение вдоль z , перпендикулярной плоскости об-

разца, при этом z_i отсчитывается от срединной плоскости i -го слоя. Компоненты деформации связаны со смещением соотношениями:

$${}^p S_r = \frac{\partial {}^p u_{r0}}{\partial r} + \frac{z_p \partial^2 w}{\partial r^2},$$

$${}^m S_r = \frac{\partial {}^m u_{r0}}{\partial r} + \frac{z_m \partial^2 w}{\partial r^2},$$

$${}^p S_\theta = \frac{{}^p u_r}{r}, \quad {}^m S_\theta = \frac{{}^m u_r}{r}.$$

Очевидно, деформации ${}^i S_{r0} = \frac{\partial {}^i u_{r0}}{\partial r}$ удовлетворяют следующему условию:

$${}^m S_{r0} - {}^p S_{r0} = \frac{h_1}{R_1},$$

где $h_1 = \frac{{}^m t + {}^p t}{2}$ — расстояние между срединными плоскостями пьезоэлектрического и магнитного слоев, ${}^p t, {}^m t$ — толщины слоев; R_1 — радиус кривизны.

Смещения вдоль осей r и z удовлетворяют уравнениям эластостатики

$$\frac{\partial^2 ({}^i u_r)}{\partial r^2} + \frac{1}{r} \frac{\partial ({}^i u_r)}{\partial r} - \frac{{}^i u_r}{r^2} = 0, \quad (4)$$

$$\frac{\partial}{\partial r} \left[\frac{1}{r} \frac{\partial (r \frac{\partial w}{\partial r})}{\partial r} \right] = 0. \quad (5)$$

Для нахождения постоянных интегрирования уравнений (4) и (5) следует учесть, что смещения конечны при $r = 0$. Кроме того, для обеспечения равновесия системы необходимо, чтобы суммарная радиальная сила равнялась нулю, а сумма вращающих моментов радиальных сил каждого слоя должна уравновешиваться результирующим вращающим моментом, индуцируемым в слоях структуры:

$${}^m F_r + {}^p F_r = 0, \quad (6)$$

$${}^m F_r h_1 = {}^p M_r + {}^m M_r, \quad (7)$$

$$\text{где } {}^i F_r = \int_{-i t/2}^{i t/2} {}^i T_r dz_i, \quad {}^i M_r = \int_{-i t/2}^{i t/2} z_i {}^i T_r dz_i,$$

Решив систему уравнений (4) и (5) с учетом (6) и (7), можно найти компоненты напряжения ${}^p T_r$ и ${}^p T_\theta$, принимая во внимание уравнение (1), которое необходимо записать в цилиндрической системе координат. Подстановка найденного выражения для напряжения в условие разомкнутой электрической цепи с учетом (2) позволяет вычислить МЭ коэффициент по напряжению. Условие разомкнутой электрической цепи имеет вид

$$\int_0^R {}^p D_3 r dr \int_0^{2\pi} d\theta = 0, \quad (8)$$

где R — радиус образца.

3. Магнитоэлектрический эффект в области изгибной моды

Для нахождения МЭ коэффициента по напряжению необходимо найти решения уравнений магнитостатики и эластодинамики, записанных для маг-

нитного слоя, а также уравнений электростатики и эластодинамики для пьезоэлектрического слоя с учетом граничных условий. Теоретическая модель МЭ взаимодействия в магнитоэлектрично-пьезоэлектрической структуре в области изгибной моды образца в форме пластинки построена в [8]. Одной из задач данной работы является моделирование МЭ эффекта в области изгибной моды образца в форме диска. В отличие от образца в форме пластинки рассмотрение МЭ эффекта в дискообразном образце целесообразно проводить, используя цилиндрическую систему координат (r, l, z) . В работе рассматривается так называемая поперечная ориентация полей, когда постоянное и переменное магнитные поля лежат в плоскости образца и направлены вдоль оси x , а направление поляризации пьезоэлектрика и индуцируемое электрическое поле перпендикулярны плоскости образца и направлены вдоль оси z . При этом влияние размагничивающих полей сводится к минимуму.

Уравнение изгибных колебаний образца, толщина которого мала по сравнению с радиусом, имеет вид [9]

$$\nabla^2 \nabla^2 w + \frac{\rho t}{D} \frac{\partial^2 w}{\partial t^2} = 0, \quad (9)$$

где $\nabla^2 \nabla^2$ — бигармонический оператор; w — прогиб (смещение в направлении оси z), t и ρ — толщина и средняя плотность структуры; D — цилиндрическая жесткость. Для магнитоэлектрично-пьезоэлектрической структуры

$$t = {}^p t + {}^m t, \quad \rho = \frac{{}^p \rho {}^p t + {}^m \rho {}^m t}{t},$$

где ${}^p t, {}^m t$ — толщины пьезоэлектрического и магнитоэлектричного слоев; ${}^p \rho, {}^m \rho$ — плотности слоев.

Общее решение уравнения (9) имеет вид $w = [C_1 J_n(kr) + C_2 Y_n(kr) + C_3 I_n(kr) + C_4 K_n(kr)] \cos(m\varphi)$, (10) где $J_n(kr)$ и $Y_n(kr)$ — функции Бесселя первого и второго рода порядка n ; $I_n(kr)$ и $K_n(kr)$ — модифицированные функции Бесселя; n — количество узловых диаметров; $k^4 = \omega^2 ({}^p \rho {}^p t + {}^m \rho {}^m t) D^{-1}$, ω — круговая частота.

Вынужденные колебания образца под действием внешнего магнитного поля можно представить в виде суперпозиции его собственных колебаний. При этом выражения (10) при $n \neq 0$ не дадут вклада в величину МЭ коэффициента по напряжению, поскольку, как известно, интеграл от периодической функции за период равен нулю, а МЭ коэффициент вычисляется из условия разомкнутой электрической цепи (8).

В формуле (8) электрическая индукция определяется механическим напряжением согласно (2), механическое напряжение может быть выражено через деформацию из (1), а деформация в свою очередь определяется прогибом образца.

Выражение (10) содержит четыре произвольные постоянные, которые необходимо определить из граничных условий при $r = 0$ и $r = R$, где R —

радиус образца. В данном случае граничные условия сводятся к условию ограниченности величины прогиба при $r = 0$, а также равенству нулю вращающего момента M_r и поперечной силы V_r при $r = R$. Вращающий момент при $n = 0$ определяется соотношением $M_r = \int_A z T_r dA$, где A — боковая по-

верхность образца. Поперечная сила определяется как $V_r = \frac{\partial M_r}{\partial r}$.

Выражение для МЭ коэффициента по напряжению, найденное подстановкой (2) в (8) с учетом (1) и (10), имеет вид

$$\alpha_{E b} = \frac{a_3 {}^p d_{31} (q_{11} + q_{12})}{(r_1 a_2 - r_2 a_1) {}^p \epsilon_{33}}, \quad (11)$$

где a_1, a_2, a_3, r_1 и r_2 — параметры, зависящие от геометрических размеров образца и исходных материальных параметров,

$$a_3 = \frac{{}^p Y {}^m Y k R r_1 r_2 (2z_0 - {}^p t)(1 + \nu)[(z_0 + {}^m t)^2 - z_0^2]}{4(1 - \nu)(1 + {}^p K^2)},$$

$$a_1 = -\frac{{}^p Y}{3} \left[a_5 - \frac{r_1 k (1 + \nu) {}^p K^2}{R(1 - {}^p K^2)} \right] [z_0^3 - (z_0 - {}^p t)^3] - \frac{{}^m Y}{3} \left[a_5 - \frac{r_3 k^2 (1 + \nu) {}^m K^2}{2(1 - {}^m K^2)} \right] [(z_0 + {}^m t)^3 - z_0^3] - a_7 r_3;$$

$$a_2 = -\frac{{}^p Y}{3} \left[a_6 + \frac{r_2 k (1 + \nu) {}^p K^2}{R(1 - {}^p K^2)} \right] [z_0^3 - (z_0 - {}^p t)^3] - \frac{{}^m Y}{3} \left[a_6 + \frac{r_4 k^2 (1 + \nu) {}^m K^2}{2(1 - {}^m K^2)} \right] [(z_0 + {}^m t)^3 - z_0^3] + a_7 r_4;$$

$$a_5 = -\frac{\nu r_1 k}{R} - \left(r_3 - \frac{r_1}{kR} \right) k^2; \quad a_6 = \frac{\nu r_2 k}{R} + \left(r_4 - \frac{r_2}{kR} \right) k^2;$$

$$a_7 = \frac{{}^m Y (1 + \nu)^2 k^2 {}^m K^2 ({}^m t + 2z_0)[(z_0 + {}^m t)^2 - z_0^2]}{8(1 - {}^m K^2)};$$

$$r_1 = I_0(kR); \quad r_2 = J_0(kR); \quad r_3 = I_1(kR); \quad r_4 = J_1(kR);$$

$$D = {}^p D + {}^m D + 3 \left(\frac{(1 - \nu)^2}{{}^m D} + \frac{\nu^2}{{}^p D} \right)^{-1};$$

$${}^p K^2 = \frac{2 {}^p d_{31} {}^p Y}{{}^p \epsilon_{33} (1 - \nu)}; \quad {}^m K^2 = \frac{2 {}^m q^2 {}^m Y}{{}^m \mu_{11} (1 - \nu)};$$

$$2 {}^m q = {}^m q_{11} + {}^m q_{12}; \quad z_0 = \frac{{}^p Y {}^p t^2 - {}^m Y {}^m t^2}{2({}^p Y {}^p t + {}^m Y {}^m t)};$$

$$\nu = \frac{{}^p t}{{}^p t + {}^m t}; \quad D_p \text{ и } D_m \text{ — цилиндрические жесткости}$$

пьезоэлектрического и магнитного слоев. С целью упрощения выражения (11) коэффициенты Пуассона для пьезоэлектрического и пьезомагнитного слоев приняты равными: ${}^p \nu = {}^m \nu = \nu$.

Как и следовало ожидать, МЭ взаимодействие в области изгибной моды определяется произведением пьезоэлектрического и пьезомагнитного коэффициентов исходных компонентов. Резонансные частоты, на которых наблюдается резкое увеличение МЭ коэффициента, определяются корнями уравнения $r_1 a_2 - r_2 a_1 = 0$.

4. Магнитоэлектрический эффект в области радиальной моды

Для нахождения МЭ коэффициента по напряжению в данной работе использовалось выражение для поперечной ориентации магнитных и электрического полей.

$$\alpha_{ER} = \frac{(1+\nu)(1-V)^p s_{11} J_1(kR) p d_{31} ({}^m g_{11} + {}^m g_{12}) \mu_{eff}}{(1-\nu)^p s_{11} A^p \epsilon_{33} + 2B p d_{31}^2}, \quad (12)$$

где $A = aJ_0(kR) - (1-\nu)s_1 J_1(kR)$; $B = aJ_0(kR) - s_3 J_1(kR)$; V — объемная доля пьезоэлектрика; $a = kR s_1$; $s_1 = V^m s_{11}^B + (1-V)^p s_{11}$; $s_3 = (1-\nu)(1-V)^p s_{11} + 2V^m s_{11}^B$; μ_{eff} — эффективная магнитная проницаемость магнитного слоя [10].

5. Частотная зависимость магнитоэлектрического эффекта в структуре ЦТС-никель

Теоретические оценки получены, исходя из следующих значений материальных параметров исходных компонент: для никеля ${}^m s_{11} = 4,9 \cdot 10^{-12} \text{ м}^2/\text{Н}$, ${}^m s_{12} = -1,7 \cdot 10^{-12} \text{ м}^2/\text{Н}$, ${}^m q_{11} + {}^m q_{12} = -1030 \cdot 10^{-12} \text{ м/А}$, ${}^m \rho = 8,9 \cdot 10^3 \text{ кг/м}^3$; для ЦТС ${}^p s_{11} = 15,3 \cdot 10^{-12} \text{ м}^2/\text{Н}$, ${}^p s_{12} = -5 \cdot 10^{-12} \text{ м}^2/\text{Н}$, ${}^p d_{31} = -175 \cdot 10^{-12} \text{ м/В}$, ${}^p \epsilon_{33}/\epsilon_0 = 1750$; ${}^p \rho = 7,7 \cdot 10^3 \text{ кг/м}^3$. Следует отметить, что в реальных структурах существуют потери, которые необходимо учитывать в расчетах. Ширина резонансной линии может описываться путем введения комплексной частоты $\omega = \omega' + i\omega''$, где $\omega'/\omega'' = Q$. Добротность линий ЭМР была эмпирически определена по ширине его линии. Расчетная частотная зависимость МЭ коэффициента по напряжению, а также зависимости низкочастотного и резонансных МЭ коэффициентов приведены на рис. 1-4.

Экспериментальные исследования МЭ эффекта в дискообразных образцах были выполнены для двухслойной структуры состава ЦТС-никель. Использовались образцы в форме диска радиусом $R = 4,4 \text{ мм}$. Толщина слоя никеля равнялась $0,25 \text{ мм}$, а толщина слоя ЦТС изменялась в пределах от $0,4$ до 1 мм . Измерения выполнены для поперечной ориентации электрического и магнитных полей (вектор электрической поляризации перпендикулярен магнитным полям) на частоте 1 кГц и в областях изгибной и радиальной мод электромеханического резонанса. Экспериментальные частотная зависимость МЭ коэффициента по напряжению, а также зависимости низкочастотного и резонансных МЭ коэффициентов приведены на рис. 1-4.

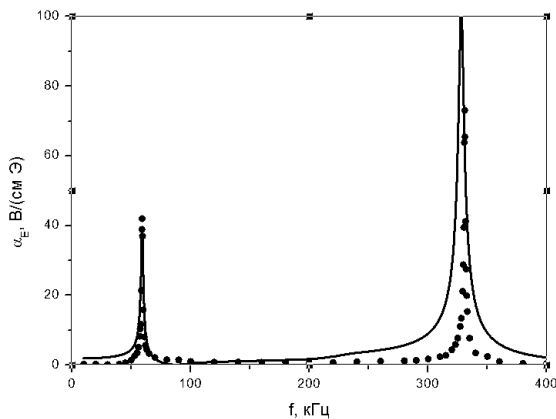


Рис.1. Расчетная (сплошная линия) и экспериментальная (точки) частотные зависимости низкочастотного МЭ коэффициента по напряжению для двухслойной структуры состава ЦТС-никель

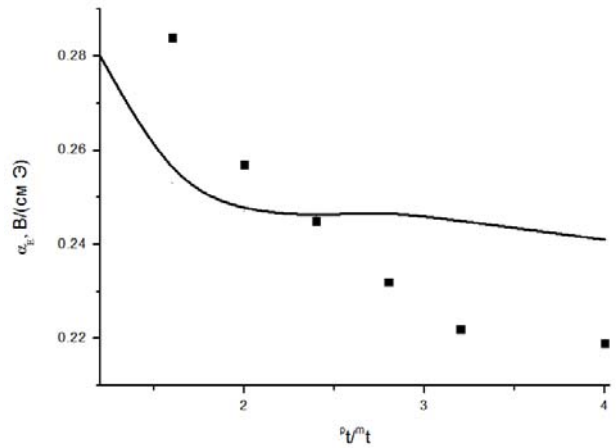


Рис.2. Расчетная (сплошная линия) и экспериментальная (точки) зависимости низкочастотного МЭ коэффициента по напряжению для двухслойной структуры состава ЦТС-никель от отношения толщин слоев компонент

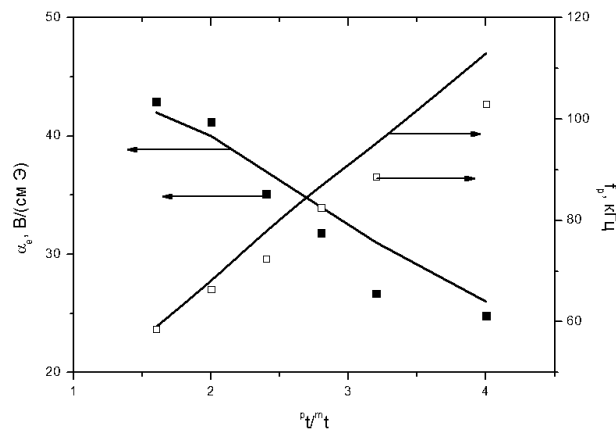


Рис.3. Расчетные (сплошные линия) и экспериментальные (точки) зависимости максимального МЭ коэффициента по напряжению и резонансной частоты для изгибной моды двухслойной структуры состава ЦТС-никель от отношения толщин слоев компонент

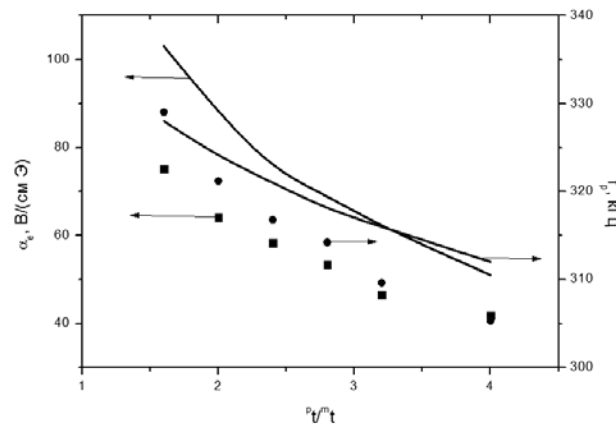


Рис.4. Расчетные (сплошные линия) и экспериментальные (точки) зависимости максимального МЭ коэффициента по напряжению и резонансной частоты для радиальной моды двухслойной структуры состава ЦТС-никель от отношения толщин слоев компонент

На рис.1 мы видим, что в области изгибной моды наблюдается возрастание МЭ коэффициента приблизительно в 100 раз по отношению к низкочастотному значению, а в области радиальной моды — приблизительно в 200 раз. При уменьшении толщины слоя ЦТС имеет место увеличение как низкочастотного, так

и резонансных МЭ коэффициентов (рис.2-4). При этом резонансная частота изгибной моды понижается, а резонансная частота радиальной моды возрастает.

6. Заключение

Таким образом, в данной работе рассмотрен МЭ эффект в двухслойной магнитоэлектрично-пьезоэлектрической структуре в широком диапазоне частот. Получены явные выражения для МЭ коэффициента по напряжению в области изгибной и радиальной мод для образца в форме диска. Показано, что в области мод электромеханического резонанса наблюдается увеличение МЭ коэффициента в 100-200 раз по сравнению с его низкочастотным значением, при этом использование изгибной моды позволяет существенно снизить значение резонансной частоты. Результаты расчетов хорошо согласуются с данными измерений для двухслойных структур на основе никеля и цирконата-титаната свинца. Резонансное значение МЭ коэффициента достигает 80 В/(см Э), что делает образцы потенциально пригодными для использования при проектировании датчиков магнитного поля и преобразователей.

Работа выполнена в рамках реализации ФЦП «Научные и научно-педагогические кадры инновационной России» на 2009 — 2013 годы.

1. Nan Ce-Wen, Bichurin M.I., Dong S., Viehland D., and Srinivasan G. // J. Appl. Phys. 2008. V.103. P.031101.
2. Xing Z., Dong S., Zhai Junyi, Yan Li, Li J., and Viehland D. // Appl. Phys. Lett. 2006. V.89. P.112911.
3. Zhai J., Xing Z., Dong S., Li J., and Viehland D. // Appl. Phys. Lett. 2008. V.93 P.072906 (1-3).
4. Chashin D.V., Fetisov Y.K., Kamentsev K.E., and Srinivasan G. // Appl. Phys. Lett. 2008. V.92. P.102511 (1-3).
5. Bichurin M.I., Fillipov D.A., Petrov V.M., Laletin U., and Srinivasan G. // Phys. Rev. B 2003. V.68.P.132408 (1-6).
6. Petrov V.M., Bichurin M.I., Zibtsev V.V., Mandal S.K., and Srinivasan G. // J. Appl. Phys. 2009. V.106. P.113901 (1-5).
7. Zhai J., Xing Z., Dong S., Li J. and Viehland D. // Appl. Phys. Lett. 2006. V.88. P.062510 (1-3).
8. Petrov V.M., Srinivasan G., Bichurin M.I., and Galkina T.A. // J. Appl. Phys. 2009. V.105. P.063911 (1-4).
9. Timoshenko S.P. and Young D.H. Vibration problems in engineering. 3rd ed. N. Y.: Van Nostrand Co., Inc., 1955. 472 p.
10. Бичурин М.И., Петров В.М., Аверкин С.В., Филиппов А.В. // ФТТ. 2010. Т.52. Вып.10. С.1975-1980.